

УДК 631.3.02: 631.4

# **ОБОСНОВАНИЕ ТРЕБОВАНИЙ К ХОДОВЫМ СИСТЕМАМ АВТОМОБИЛЕЙ ПРИ ИСПОЛЬЗОВАНИИ В СЕЛЬСКОМ ХОЗЯЙСТВЕ**

**И.Н. Шило,**

ректор БГАТУ, докт. техн. наук, профессор

**Н.Н. Романюк,**

первый проректор БГАТУ, канд. техн. наук, доцент

**А.Н. Орда,**

зав. каф. теоретической механики и теории механизмов и машин БГАТУ, докт. техн. наук, профессор

**В.А. Шкляревич,**

ст. преподаватель каф. теоретической механики и теории механизмов и машин БГАТУ

**А.С. Воробей,**

ст. науч. сотр. РУП «НПЦ НАН Беларусь по механизации сельского хозяйства», канд. техн. наук

**Ян Радослав Каминьски,**

докт. с.-х. наук (Варшавский университет естественных наук)

*В статье на основании норм допустимого воздействия движителей на почву, регламентированных соответствующими ГОСТами, и закономерностей, описывающих процессы следообразования, рассчитаны показатели уплотняющего воздействия колес автомобилей МАЗ и дана их оценка на соответствие допустимым нормам. Обоснованы рекомендации по снижению глубины следа от воздействия ходовых систем автомобилей на почву.*

*Ключевые слова: автомобиль, ходовая система, сдвоенные колеса, почва, давление, напряжение, глубина следа, плотность почвы.*

*The indicators of the sealing effect of the wheels of MAZ automobiles are calculated and their assessment is made for compliance with permissible norms on the basis of the permissible impact norms of thrusters on the soil, regulated by the corresponding State Standards, and regularities describing the processes of trace formation. Recommendations to reduce the depth of the trail from the impact of road systems of cars on the ground are substantiated.*

*Keywords: automobile, suspension system, twin wheels, soil, pressure, stress, depth of the track, soil density.*

## **Введение**

Воздействие ходовых систем мобильных машин ведет к увеличению плотности почвы. Так, плотность пахотных слоев почвы под воздействием ходовых систем машинно-тракторных агрегатов возрастает до 1550 кг/м<sup>3</sup>, в то время как оптимальная плотность для возделывания сельскохозяйственных культур составляет – 1000-1350 кг/м<sup>3</sup>. Плотность подпахотных слоев почвы достигает величины – 1650 кг/м<sup>3</sup>, близкой к критической [1]. Чрезмерное уплотнение почвы приводит к снижению урожайности сельскохозяйственных культур, повышению затрат энергии и расхода топлива, уменьшению производительности при обработке почвы.

К настоящему времени рядом ведущих научно-исследовательских институтов и высших учебных заведений стран СНГ разработаны нормативы по допустимому воздействию движителей сельскохозяйственной техники на почву, представленные в виде ГОСТов,

регламентирующих их максимальное давление на почву и напряжение в почве на глубине 0,5 м [2].

Цель работы – определить показатели уплотняющего воздействия колес автомобилей МАЗ, согласно ГОСТам, нормирующим допустимый уровень воздействия на почву, и обосновать требования к их ходовым системам при использовании в сельском хозяйстве.

## **Основная часть**

Рассчитаем согласно ГОСТу 26953-86 геометрические параметры взаимодействия протектора шины колеса с жестким основанием и с почвой. Площадь контакта шины с почвой, приведенную к условиям работы на почвенном основании  $S_{kp}$ , определим по зависимости [3]:

$$S_{kp} = S_{kk} \cdot k_D, \quad (1)$$

где  $S_{kk}$  – контурная площадь контакта шины с жестким основанием, м<sup>2</sup>;

$k_d$  – коэффициент, зависящий от наружного диаметра  $D_{ш}$  шины колеса,  $k_d = 1,1\text{--}1,6$  [4].

Контурную площадь контакта шины с жестким основанием  $S_{кж}$  определим согласно методике [5] по формуле:

$$S_{кж} = a_{ш} \cdot \pi \cdot a_k \cdot b_k, \quad (2)$$

где  $a_{ш}$  – коэффициент,  $a_{ш} = 0,98\text{--}1,04$  [5];

$a_k$  – половина длины контакта протектора шины с жестким основанием, м;

$b_k$  – половина ширины контакта протектора шины с жестким основанием, м

Половина длины контакта протектора шины с жестким основанием:

$$a_k = k_{ш1} \sqrt{D_{ш} \cdot [h_{ш}] - [h_{ш}]^2}, \quad (3)$$

где  $k_{ш1}$  – коэффициент, зависящий от типа шины и наружного диаметра  $D_{ш}$  шины колеса,  $k_{ш1} = 0,7\text{--}0,81$  [5];

$D_{ш}$  – наружный диаметр шины колеса, м;

$[h_{ш}]$  – допустимая деформация шины, м:

$$[h_{ш}] = [\lambda_{ш}] \cdot H_{ш}, \quad (4)$$

где  $[\lambda_{ш}]$  – относительная допустимая деформация шины для тракторов и сельскохозяйственных машин,  $[\lambda_{ш}] = 0,14\text{--}0,19$  [6];

$H_{ш}$  – высота профиля шины, м.

Половина ширины контакта протектора шины с жестким основанием:

$$b_k = \sqrt{B_{ш} \cdot [h_{ш}] - [h_{ш}]^2}, \quad (5)$$

где  $B_{ш}$  – ширина протектора шины колеса, м.

Используя зависимости (1) ... (5), рассчитаем геометрические параметры взаимодействия шин ко-

лес автомобилей МАЗ с жестким основанием и почвой, и отразим их в таблице 1. При расчетах наружный  $D_{ш}$  и внутренний  $d_{ш}$  диаметры шины колеса, ширину протектора шины колеса  $B_{ш}$  и высоту профиля шины  $H_{ш}$  определяли согласно характеристикам заводов-изготовителей шин [7].

Значения режимов нагружения и параметров колес автомобилей определены на основании публикаций [8, 9].

Полученные расчетные значения геометрических размеров взаимодействия шин с жестким основанием и почвой используем для определения величин, характеризующих процесс следообразования при воздействии ходовых систем автомобилей на почву и сравним с допустимыми значениями разработанных рекомендаций по эксплуатации мобильной сельскохозяйственной техники. К таким величинам относятся нормируемые по ГОСТу 26955-86: максимальное давление  $q_{max}$  колесного движителя на почву, максимальное нормальное напряжение в почве на глубине – 0,5 м ( $\sigma_{0,5}$ ). Определим также глубину следа  $h$ , плотность верхнего слоя почвы в следе  $\rho$  и глубину проникновения деформации в почве  $x_h$ .

Среднее давление единичного колесного движителя на почву при наибольшей эксплуатационной массе [3]:

$$q_{cp} = \frac{G_k}{S_{kp}}, \quad (6)$$

где  $G_k$  – статическая нагрузка на почву единичным колесным движителем, Н.

Максимальное давление колесного движителя на почву равно [3]:

$$q_{max} = q_{cp} \cdot k_{ш2}, \quad (7)$$

Таблица 1. Геометрические параметры взаимодействия колес автомобилей МАЗ с основанием

Марка автомобиля	Обозначение и маркировка шин	Параметры шин					Расчетные параметры взаимодействия шин с основанием			
		$D_{ш}$ , м	$d_{ш}$ , м	$B_{ш}$ , м	$H_{ш}$ , м	$[h_{ш}]$ , м	$a_k$ , м	$b_k$ , м	$S_{кж}$ , м <sup>2</sup>	$S_{kp}$ , м <sup>2</sup>
МАЗ-5516	передняя ось Бел-116 12.00R20	1,112	0,508	0,313	0,302	0,048	0,159	0,113	0,056	0,079
	задняя ось Бел-116 12.00R20	1,112	0,508	0,313	0,302	0,048	0,170	0,113	0,060	0,078
МАЗ-5516	передняя ось Бел-95 16.00R20	1,343	0,508	0,44	0,418	0,067	0,219	0,158	0,109	0,141
	задняя ось Бел-95 16.00R20	1,112	0,508	0,44	0,302	0,048	0,181	0,138	0,078	0,086
МАЗ-5551	передняя ось Бел-116 12.00R20	1,112	0,508	0,313	0,302	0,048	0,170	0,113	0,060	0,078
	задняя ось Бел-116 12.00R20	1,112	0,508	0,313	0,302	0,048	0,181	0,113	0,064	0,071
МАЗ-6517	передняя ось Бел-95 16.00R20	1,343	0,508	0,44	0,418	0,067	0,219	0,158	0,109	0,141
	задняя ось Бел-95 16.00R20	1,343	0,508	0,44	0,418	0,067	0,234	0,158	0,116	0,127
МАЗ-6517	передняя ось Бел-66A 525/70R21	1,285	0,533	0,525	0,376	0,060	0,217	0,167	0,114	0,137
	задняя ось Бел-66A 525/70R21	1,285	0,533	0,525	0,376	0,060	0,217	0,167	0,114	0,125

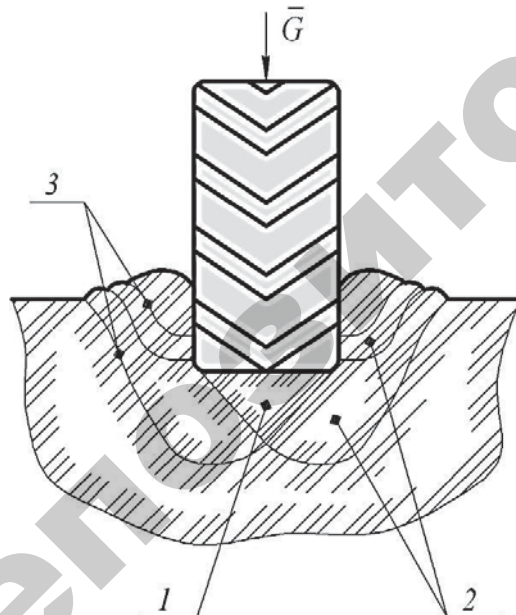
где  $q_{\text{ср}}$  – среднее давление колеса на почву, кПа;  $k_{\text{ш2}}$  – коэффициент продольной неравномерности распределения давления по площади контакта шины с почвой,  $k_{\text{ш2}} = 1,5$ .

Нормируемое максимальное нормальное напряжение в почве на глубине 0,5 м определяем по формуле [4]:

$$\sigma_{0,5} = 0,637 \cdot q_{\text{ср}} \cdot \left[ \arctg \left( \frac{a_k \cdot b_k}{0,5 \sqrt{a_k^2 + b_k^2 + 0,5^2}} \right) + \frac{0,5 \cdot a_k \cdot b_k (a_k^2 + b_k^2 + 2 \cdot 0,5^2)}{(a_k^2 + 0,5^2)(b_k^2 + 0,5^2) \sqrt{a_k^2 + b_k^2 + 0,5^2}} \right]. \quad (8)$$

При воздействии на почву ходовых систем деформация почвы  $h$  растет не только из-за ее уплотнения, но и в результате выдавливания частиц почвы из-под движителя с образованием валов выпирания. В конце фазы уплотнения под движителем начинает формироваться ядро уплотнения почвы, имеющее форму конуса, основанием которого служит опорная поверхность движителя, которое в дальнейшем и выдавливает почву в стороны.

В результате воздействия колес на почву образуются зоны уплотнения и зоны сдвигов в поперечной (рис. 1a) и продольной (рис. 1б) вертикальных плоскостях к направлению движения автомобиля.



a)

Для определения глубины следа колесного движителя при однократном нагружении в случае, когда опорным основанием является почва с одинаковыми по глубине физико-механическими свойствами (стержня), воспользуемся зависимостью гиперболического тангенса между деформацией и напряжением почвы, предложенной В.В. Кацыгиным [10]:

$$h = \frac{p_0}{k} \operatorname{Arth} \left( \frac{\sigma}{p_0} \right), \quad (9)$$

где  $\sigma$  – контактное напряжение в почве под колесом, кПа;

$p_0$  – предел несущей способности почвы, кПа;

$k$  – коэффициент объемного смятия почвы, кН/м<sup>3</sup>.

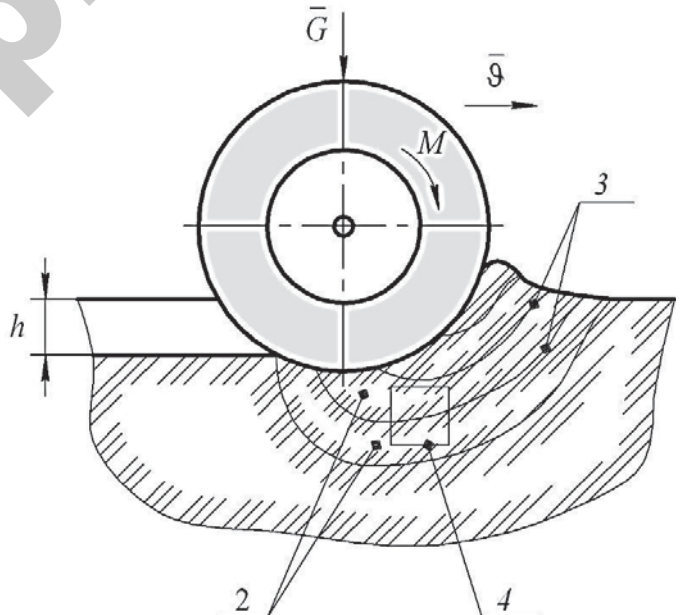
Плотность почвы с одинаковыми по глубине физико-механическими свойствами в следе после прохода колеса найдем по зависимости [11]:

$$\rho = \rho_0 \left( 1 + \frac{\beta}{k} \sigma \right), \quad (10)$$

где  $\rho_0$  – плотность верхнего слоя почвы до нагружения, кг/м<sup>3</sup>;

$\beta$  – коэффициент распределения напряжений в почве, зависящий от свойств почвы и размеров колес, м<sup>-1</sup> [11].

В зависимости (9), (10) входит коэффициент объемного смятия почвы, который определим аналитическим путем. При сдавливании колес возрастает их ширина опорной поверхности, из-за чего изменяется коэффициент объемного смятия  $k$ , который зависит



б)

Рис. 1. Схема образования уплотненной зоны в почве под движителем в поперечной (а) и продольной (б) плоскостях к направлению движения автомобиля: 1 – ядро уплотнения; 2 – зоны пластических деформаций; 3 – поверхности скольжения; 4 – кубик почвы

как от свойств почвы, так и размеров колес, что выражается следующей зависимостью [11]:

$$k_j = k_i \sqrt{\frac{D_{\text{ши}} \cdot B_{\text{ши}}}{D_{\text{шj}} \cdot B_{\text{шj}}}}, \quad (11)$$

где  $k_i$  – коэффициент объемного смятия почвы для колеса, оборудованного шиной с размерами  $D_{\text{ши}}$  и  $B_{\text{ши}}$ , кН/м<sup>3</sup>;

$k_j$  – коэффициент объемного смятия почвы для колеса, оборудованного шиной с размерами  $D_{\text{шj}}$  и  $B_{\text{шj}}$ , кН/м<sup>3</sup>.

Глубину проникновения уплотнения под воздействием колес определим из зависимости [11]:

$$x_h = \frac{1}{\beta} \ln \left( \frac{\sigma}{\sigma_{\text{упр}}} \right), \quad (12)$$

где  $\sigma_{\text{упр}}$  – напряжение, которое соответствует условиям развития в его зоне действия только упругих деформаций почвы, Па. Его значение обусловлено свойствами почвы и колеблется в пределах 5-20 кПа;

Влияние параметров шин на величину коэффициента распределения напряжений определяется по формуле:

$$\beta_j = \beta_i \sqrt{\frac{D_{\text{ши}} \cdot B_{\text{ши}}}{D_{\text{шj}} \cdot B_{\text{шj}}}}, \quad (13)$$

где  $\beta_i$  – коэффициент распределения напряжений в почве для колеса, оборудованного шиной с размерами  $D_{\text{ши}}$  и  $B_{\text{ши}}$ , м<sup>-1</sup>;

$\beta_j$  – коэффициент распределения напряжений в почве для колеса, оборудованного шиной с размера-

ми  $D_{\text{шj}}$  и  $B_{\text{шj}}$ , м<sup>-1</sup>.

Результаты показателей воздействия колес автомобилей МАЗ на почву по формулам (6)-(13) представлены в таблице 2.

Анализ результатов, приведенных в таблице 2, показывает, что автомобили МАЗ не соответствуют допустимым нормам воздействия их движителей из-за превышения значений максимального давления  $q_{\text{max}}$  колесного движителя на почву и нормальных напряжений в почве на глубине – 0,5 м.

На процесс следообразования колесными системами автомобилей влияют как реологические факторы (время запаздывания деформации, период релаксации), так и неизучаемые в реологии явления, связанные с переукладкой частиц почвы при повторных нагрузлениях. Определим закономерность нарастания осадки сильно упрочняющихся почв при повторных нагрузлениях (рис. 2).

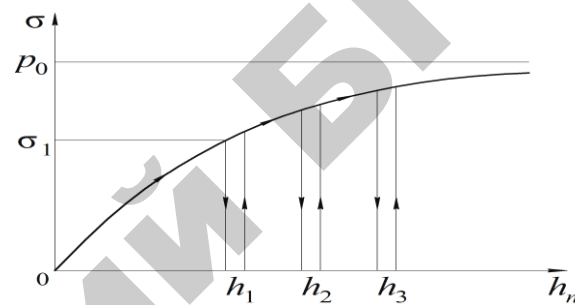


Рис. 2. Закономерности накопления повторных осадок для упрочняющихся связных почв под воздействием многоосной ходовой системы

Согласно зависимости Больцмана, энтропия процесса  $S$  пропорциональна логарифму вероятности данного состояния  $W$  (статистическая интерпретация

**Таблица 2. Показатели воздействия колес автомобилей МАЗ на почву**

Марка автомобиля	Обозначение и маркировка шин	Значения показателей воздействия					
		$G_k$ , кН	$q_{\text{ср}}$ , кПа	$q_{\text{max}}$ , кПа	$\sigma_{0,5}$ , кПа	$x_h$ , м	$h$ , м
МАЗ-5516	передняя ось Бел-116 12.00R20	35,7	452,5	678,8	55,1	0,67	0,118
	задняя ось Бел-116 12.00R20	33,0	420,4	630,6	54,3	0,69	0,066
МАЗ-5516	передняя ось Бел-95 16.00R20	35,7	252,9	379,4	53,8	0,70	0,074
	задняя ось Бел-95 16.00R20	33,0	382,9	574,4	62,3	0,79	0,071
МАЗ-5551	передняя ось Бел-116 12.00R20	33,5	426,8	640,2	55,1	0,66	0,108
	задняя ось Бел-116 12.00R20	28,75	405,8	608,7	55,3	0,68	0,063
МАЗ-6517	передняя ось Бел-95 16.00R20	37,5	265,7	398,5	56,5	0,71	0,078
	задняя ось Бел-95 16.00R20	32,5	255,1	382,7	56,9	0,69	0,051
МАЗ-6517	передняя ось Бел-66А 525/70R21	37,5	274,1	411,1	60,8	0,77	0,087
	задняя ось Бел-66А 525/70R21	32,5	259,1	388,7	57,5	0,74	0,055

второго начала термодинамики). При повторных деформациях вероятность  $W$  данного состояния увеличивается с ростом числа нагружений  $n$ . Тогда зависимость Больцмана примет вид [12]:

$$S = c_1 \cdot \ln n + c_2, \quad (14)$$

где  $c_1$  и  $c_2$  – постоянные величины.

Энтропия процесса деформации сильно упрочняющейся почвы выразится уравнением [12]:

$$S = c \cdot \frac{p_0^2}{k} \ln \operatorname{ch} \left( \frac{k}{p_0} h \right), \quad (15)$$

где  $c$  – коэффициент, зависящий от свойств почвы.

После преобразований с учетом зависимостей (14) и (15) получена закономерность накопления повторных осадок для сильно упрочняющихся почв [13]:

$$h_n = \frac{p_0}{k} \cdot \operatorname{Arch} \left( \frac{n^B}{\sqrt{1 - \sigma^2 / p_0^2}} \right), \quad (16)$$

где  $B$  – коэффициент накопления повторных осадок связанных почв;

$n$  – число нагружений, шт.

При повторных нагрузлениях слабо упрочняющихся почв с одинаковой по глубине плотностью рост напряжения от цикла к циклу незначительный, а нарастание осадки штампа весьма ощутимо (рис. 3). Наращение осадки деформатора на таких почвах при повторных нагрузлениях подчиняется зависимости [13]:

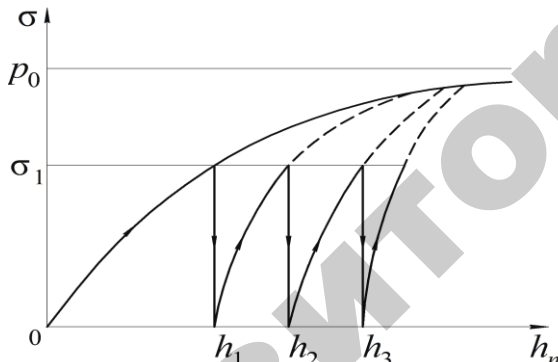


Рис. 3. Закономерности накопления повторных осадок для слабо упрочняющихся почв под воздействием многоосной ходовой системы

$$h_n = \frac{p_0}{k} \left( 1 + k_u \cdot \lg n \right) \cdot \operatorname{Arth} \left( \frac{\sigma}{p_0} \right), \quad (17)$$

где  $k_u$  – коэффициент интенсивности накопления необратимой деформации.

Зависимость между напряжением и повторными деформациями описывается кусочно-непрерывной функцией. Функция  $\sigma = f(h)$  при каждом повторном нагружении подчиняется зависимости гиперболического тангенса. Рассмотрим, чему равны при этом константы  $p_0$  и  $k$ . Сопротивление почвы при повторных нагрузлениях может уменьшаться, или увеличиваться по сравнению с первым приложением нагруз-

ки в зависимости от физико-механических свойств почвы и величины давления на нее. В соответствии с этим будут изменяться коэффициенты  $p_0$  и  $k$ . Снижение сопротивления происходит в том случае, если при первом нагружении структура почвы разрушается (особенно, когда верхние слои почвогрунта прочнее нижележащих). Несущая способность и коэффициент объемного смятия при этом уменьшаются. Увеличение сопротивления характерно для почв, способных к уплотнению и упрочнению структуры (почвы низкой влажности). Повторное деформирование в данном случае связано с преодолением сил трения покоя, которые превосходят по величине силы трения скольжения.

Напряжение  $\sigma_n$  в конце каждого цикла нагружения равно напряжению  $\sigma_1$ , развивающемуся в конце первого цикла. Исходя из этого, найдем условный коэффициент объемного смятия почвы [11]:

$$k_{yn} = \frac{p_0}{\Delta h_n} \operatorname{Arth} \left( \frac{\sigma_1}{p_0} \right).$$

Приращение осадки при  $n$ -м приложении нагрузки равно:

$$\Delta h_n = k_u \cdot \lg \frac{n}{n-1} \cdot \frac{p_0}{k} \operatorname{Arth} \left( \frac{\sigma_1}{p_0} \right).$$

Проанализируем, как влияют параметры ходовой системы (давление, количество осей, нагрузка, приходящаяся на ходовую систему, размеры колес) на следообразование.

В случае изменения давления в зависимости, обратно пропорциональной количеству осей  $N$ , глубина следа для сильно упрочняющихся почв определяется из зависимости (16)

$$H_N = \frac{p_0}{k} \cdot \operatorname{Arch} \frac{N^{b \cdot k / p_0^2}}{\sqrt{1 - (\xi \cdot Q / F_k \cdot N \cdot p_0)^2}}, \quad (18)$$

где  $\xi$  – коэффициент, учитывающий закономерность распределения давлений под опорной поверхностью колеса.

Из рис. 4, построенного на основании зависимости (18), видно, что при увеличении количества осей многоосновной ходовой системы глубина следа уменьшается.

Для слабо упрочняющихся почв эффект уменьшения глубины следа и уплотнения почвы при увеличении количества осей снижается по сравнению со следообразованием на сильно упрочняющихся почвах.

Рассмотрим, с каким количеством осей движитель предпочтительнее по следообразованию при одинаковом давлении. В этом случае размеры колес будут увеличиваться при уменьшении числа осей. Отношение диаметра колеса к ширине  $D/B$  принимаем постоянным. Так как диаметры подобных колес соотносятся между собой как и длины площадей контакта, то размеры колес  $D$  и  $B$  находятся в следующей зависимости от количества осей:

$$D_1 = \sqrt{N} \cdot D_N, B_1 = \sqrt{N} \cdot B_N, \dots, D_{N-1} = \sqrt{N/(N-1)} \cdot D_N \\ B_{N-1} = \sqrt{N/(N-1)} \cdot B_N, \quad (19)$$

где  $N$  – число осей ходовой системы, шт.

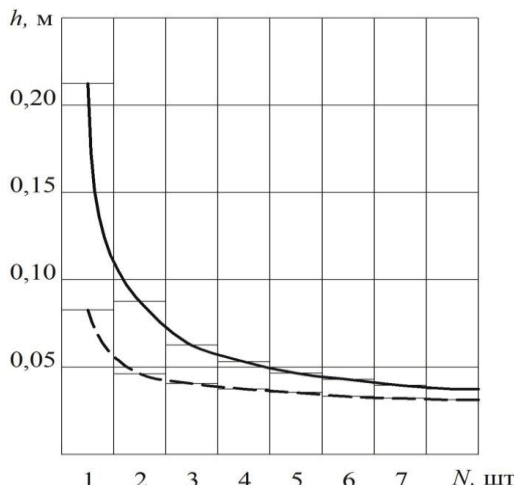


Рис. 4. Зависимость глубины следа сильно упрочняющейся почвы от числа осей:

— при  $\xi \cdot Q / F_k \cdot p_0 = 0,8$ ;  
- - - при  $\xi \cdot Q / F_k \cdot p_0 = 0,4$ .

Увеличение размеров колеса у ходовых систем при уменьшении числа осей приводит к снижению коэффициента объемного смятия. Коэффициент объемного смятия почвы  $k$ , приведенный к размерам колеса, равен:

$$k = \frac{k'}{100 \cdot \sqrt{B \cdot D}}, \quad (20)$$

где  $k'$  – коэффициент объемного смятия, определяемый с помощью твердометра, Н/м<sup>3</sup>;  $B$  и  $D$  – размеры колеса, м.

На основании зависимости (20) находим

$$\begin{aligned} k' &= 100 \cdot k_1 \sqrt{D_1 \cdot B_1} = 100 \cdot k_2 \sqrt{D_2 \cdot B_2} = \dots = \\ &= 100 \cdot k_N \sqrt{D_N \cdot B_N} \end{aligned}$$

Тогда, если при воздействии на почву колес  $N$ -осного движителя коэффициент объемного смятия  $k_N$  известен, для колес одно-, двух- и  $(N-1)$ -осного хода он определится по следующим формулам:

$$\begin{aligned} k_1 &= k_N \sqrt{\frac{D_N \cdot B_N}{D_1 \cdot B_1}}, \quad k_1 = k_2 \sqrt{\frac{D_N \cdot B_N}{D_2 \cdot B_2}}, \dots, \\ k_{N-1} &= k_N \sqrt{\frac{D_N \cdot B_N}{D_{N-1} \cdot B_{N-1}}} \end{aligned}$$

или, с учетом равенств (19)

$$k_1 = k_N \sqrt{\frac{1}{N}}, \quad k_n = k_N \sqrt{\frac{n}{N}}, \dots, \quad k_{N-1} = k_N \sqrt{\frac{N-1}{N}}. \quad (21)$$

Подставив полученные выражения в формулу (16), получаем зависимость для определения глубины следа сильно упрочняющихся почв в зависимости от числа осей

$$h_n = \frac{p_0}{k} \sqrt{\frac{N}{n}} \cdot \text{Arch} \left( \frac{n^{b(k_N/p_0^2)} \sqrt{n/N}}{\sqrt{1-q^2/p_0^2}} \right), \quad (22)$$

В данной формуле через  $N$  обозначено максимальное количество осей ходовой системы, а через  $n$  – количество осей сравниваемых систем ( $n$  изменяется от 1 до  $N$ ).

Для слабо упрочняющихся почв глубина следа будет равна

$$h_n = \frac{p_0}{k} \sqrt{\frac{N}{n}} \cdot \text{Arth} \frac{q}{p_0} (1 + k_u \cdot \lg N). \quad (23)$$

Из рис. 5, построенного по зависимостям (22) и (23), видно, что для сильно упрочняющихся почв для уменьшения глубины следа целесообразнее увеличивать количество осей ходовой системы по сравнению

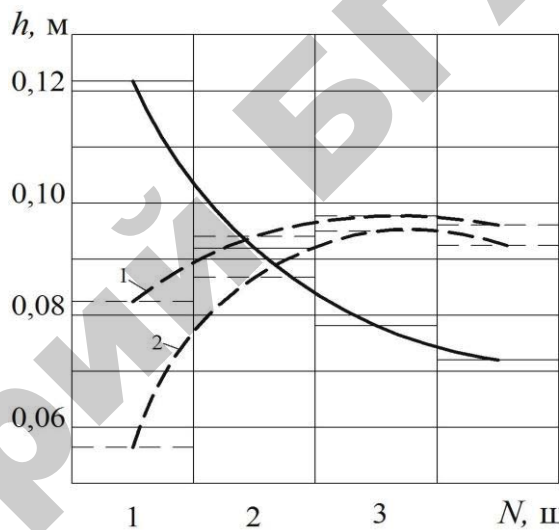


Рис. 5. Нарастание глубины следа при одинаковом давлении:

— сильно упрочняющаяся почва;  
- - - слабо упрочняющаяся почва;

кривая 1 – при  $k_u = 2$ ; кривая 2 – при  $k_u = 4$

с размерами колес. Для увлажненных слабо упрочняющихся почв ( $k_u = 2$ ) одинаково эффективным для снижения следообразования является увеличение количества осей и опорной поверхности колес. Для переувлажненных почвогрунтов ( $k_u = 4$ ) эффективнее увеличение размеров колес ходовых систем.

Задачу снижения уплотняющего воздействия автомобилей при его движении по почвам и сокращения затрат энергии на передвижение предложено решить установкой дополнительных выдвижных колес [14]. Установка по обоим бокам основного колеса 1 дополнительных выдвижных колес 2, управляемых гидросистемой транспортного средства, шириной  $b_{ш2} = 1,0 \dots 1,5 b_{ш1}$  и диаметром  $d_{ш2} = 0,2 \dots 0,25 d_{ш1}$  (рис. 6) позволяет уменьшить глубину следа и повысить проходимость автомобилей за счет устранения выпирания почвы по краям следа основного колеса 1 и увеличения ширины контакта колесного движителя с почвой на величину  $2b_{ш2}$ .

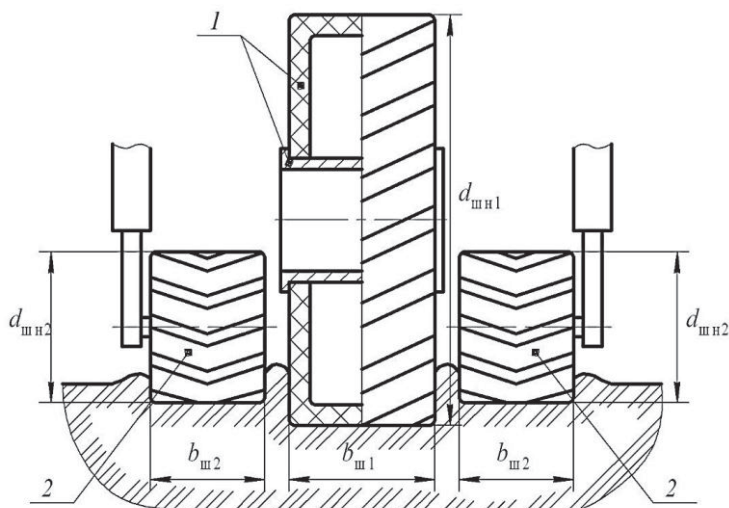


Рис. 6. Колесо транспортного средства повышенной проходимости [14]: 1 – основное колесо; 2 – дополнительные выдвижные колеса

### Заключение

При воздействии на почву колес автомобилей МАЗ рассмотренных модификаций, максимальное давление  $q_{\max}$  колесного движителя на почву и напряжения в ней на глубине 0,5 м превышают величины, допускаемые ГОСТом.

Для снижения глубины следа (под воздействием колес автомобилей) сильно упрочняющейся почвы рекомендуется увеличение числа осей при сохранении постоянной нагрузки на ходовую систему.

Для слабо упрочняющейся почвы низкой влажности, для снижения глубины следа, при сохранении постоянного давления, также эффективно увеличение числа осей, а для переувлажненной почвы – увеличение размеров колес.

### СПИСОК ИСПОЛЬЗОВАННОЙ ЛИТЕРАТУРЫ

1. Афанасьев, Н.И. Влияние уплотнения машинно-тракторными агрегатами на свойства, режимы почвы и урожай сельскохозяйственных культур: Дерново-подзолистые почвы Белоруссии / Н.И. Афанасьев, И.И. Подобедов, А.Н. Орда // Переуплотнение пахотных почв: причины, следствия, пути уменьшения. – М.: Наука, 1987. – С. 46-59.
2. Техника сельскохозяйственная мобильная. Нормы воздействия движителей на почву: ГОСТ 26955-86. – М.: Изд-во стандартов, 1986. – 7 с.
3. Техника сельскохозяйственная мобильная. Методы определения воздействия движителей на почву: ГОСТ 26953-86. – М.: Изд-во стандартов, 1986. – 18 с.
4. Техника сельскохозяйственная мобильная. Метод определения максимального нормального

напряжения в почве: ГОСТ 26954-86. – М.: Изд-во стандартов, 1986. – 5 с.

5. Гедроит, Г.И. Допустимый уровень воздействия ходовых систем сельскохозяйственной техники на почву / Г.И. Гедроит, Ю.И. Томкунас, А.Д. Чечеткин // Агропанорама. – 2013. – № 5. – С. 10-15.

6. Чигарев, Ю.В. Земледельческая механика / Ю.В. Чигарев, А.Н. Орда, Г.А. Лазарев. – Минск: БГАТУ, 1994. – 76 с.

7. Каталог продукции предприятия «Белшина» [Электронный ресурс]. – Режим доступа: [www.belshinajsc.by/catalog/shiny-dlya-traktorov-i-selskokhozyaystvennykh-mashin](http://www.belshinajsc.by/catalog/shiny-dlya-traktorov-i-selskokhozyaystvennykh-mashin). – Дата доступа: 11.12.2018.

8. Бобровник, А.И. О применении автомобилей МАЗ в агропромышленном комплексе Республики Беларусь / А.И. Бобровник, Ю.М. Жуковский, В.В. Михалков // Агропанорама. – 2012. – № 4. – С. 2-7.

9. Гедроит, Г.И. Применение автомобильной техники в полевых условиях / Г.И. Гедроит, В.В. Михалков // Инновационные технологии в производстве сельскохозяйственной продукции: материалы междунар. науч.-практич. конф., Минск, 2-3 июня 2015 г. – Минск: БГАТУ. – 2015. – С. 33-37.

10. Кацыгин, В.В. Основы теории выбора оптимальных параметров мобильных сельскохозяйственных машин и орудий / В.В. Кацыгин // Вопросы сельскохозяйственной механики. – Минск: Ураджай, 1964. – Т. 13. – С. 5-147.

11. Орда, А.Н. Эколого-энергетические основы формирования машинно-тракторных агрегатов: автореф. д-ра техн. наук: 05.20.03 / А.Н. Орда; Белорус. аграр. техн. ун-т. – Минск, 1997. – 36 с.

12. Шило, И.Н. Закономерности накопления повторных осадок при воздействии ходовых систем мобильной сельскохозяйственной техники / И.Н. Шило, Н.Н. Романюк, А.Н. Орда, В.А. Шкляревич, А.С. Воробей // Агропанорама. – 2014. – № 6. – С. 2-7.

13. Шило, И.Н. Влияние почвенных условий на формирование машинно-тракторных агрегатов / И.Н. Шило, А.Н. Орда, Н.А. Гирейко, А.Б. Селеш // Агропанорама. – 2006. – № 1. – С. 7-11.

14. Транспортное средство повышенной проходимости: пат. 18340 Респ. Беларусь, МПК В 60В 11/02/ А.Н. Орда, В.А. Агейчик, В.А. Шкляревич, О.В. Ляхович, А.С. Воробей; заяв. Белор. гос. аграр. техн. ун-т. – № а 20111434; заявл. 28.10.11; опубл. 30.06.13 // Афіцыйны бл. / Нац. цэнтр інтэлектуал. уласнасці. – 2013. – № 3.

ПОСТУПИЛА В РЕДАКЦИЮ 03.01.2019